DOI: 10.19476/j.ysxb.1004.0609.2017.10.17

微观相场模拟弹性畸变能对 L1₂相 沉淀全过程的影响



郑晓娟,赵宇宏,侯 华,靳玉春,马庆爽,田晋忠 (中北大学 材料科学与工程学院,太原 030051)

摘 要:基于微观相场法研究不同弹性畸变能对 $Ni_{75}Al_5V_{20}$ 合金中 Ll_2 相沉淀过程的影响。结果表明:虽然弹性畸变能不同, $Ni_{75}Al_5V_{20}$ 合金在温度为 1250 K 下沉淀时的显微组织演化过程都可大概分为 4 个阶段,但也有不同之处;在早期沉淀析出的 Ll_2 相中,V 原子的占位要远大于 Al 原子的占位,最终,随着弹性畸变能的增大,在 Ll_2 相中 Al 原子的占位概率降低,V 原子的占位概率增大。在生成化学计量比的 Ll_2 有序相时,Al 原子由 Ll_2 相边界逐渐向其内部扩散,而 V 原子则与之相反,且各原子越靠近 Ll_2 相的边界扩散速度越快,反之越慢。

关键词: Ni₇₅Al₅V₂₀合金; 微观相场; 弹性畸变能; 占位概率; L1₂相

文章编号: 1004-0609(2017)-10-2098-07

中图分类号: TG111.5

文献标志码: A

镍基合金被广泛应用在高温环境中[1], 如在燃气 涡轮发动机和航天先进发动机中发挥着很重要的作 用[2-4]。其中镍铝钒合金因其优越的高温性能而备受关 注,其相变过程的显微组织演化规律被广泛研究,但 通过实验手段难以分析沉淀的整个过程, 在以往的实 验中大多只讨论了沉淀后期的沉淀相的调制结构形貌 等现象[5]。而计算机模拟具有其独特的优势,是因为 它可通过利用微观相场动力学模型处理合金沉淀过程 中的高度非线性、高度非平衡状态等问题, 从而获得 直观清晰的有序相原子层次的瞬时形貌。由于合金在 沉淀时因应变时效状态不同及合金本身缺陷和造成的 过饱和度的差异, 在沉淀早期就会有应变能的形成, 从而会对预析出相的析出过程产生影响,进而会直接 影响到析出相的形核长大、组织形貌、数量分布原子 扩散及其占位概率等[6-8]。因此,在研究镍基合金沉淀 过程时,通过温度与弹性畸变能的耦合进行模拟更加 具有实际意义。

在以往的模拟中,刘芳等^[6]和 LU 等^[9]研究过不同 弹性畸变能、成分等对 L1₂ 相和 DO₂₂ 相沉淀序列及其 最终原子占位的影响;陈引平等^[7]研究了弹性畸变能 对 L1₂ 相预析出相的影响。张明义等^[10-18]研究了在 Ni-Al-V 相变过程中 DO₂₂ 相中合金元素占位概率变化 和 L1₂ 相长大之间的联系,以及 L1₂ 相之间、DO₂₂ 相 之间、L1₂ 相与 DO₂₂ 相异相间的各原子的扩散规律。

以上只是重点分析了 $L1_2$ 相在某一阶段的沉淀规律。 因此,本文作者研究了在弹性畸变能影响下 $Ni_{75}Al_5V_{20}$ 合金的 $L1_7$ 相在整个沉淀过程中的沉淀规律。

1 微观相场法理论模型

在利用计算机模拟合金沉淀时所采用的三元微观相场模型是由 KHAUCHATURYAN 创建^[19],CHEN等^[20-21]对此模型进行了补充和修改,在三元合金体系下,用 $P_A(r,t)$ 、 $P_B(r,t)$ 、 $P_C(r,t)$ 分别表示 A、B、C 原子在 t 时刻、占据晶格位置 r 的概率,由于 $P_A(r,t)$ + $P_B(r,t)$ + $P_C(r,t)$ =1,所以每个格点上只有两个方程是独立的。假设以A和B原子的占位概率为两个独立变量,为了描述形核过程,需要添加随机项来模拟热起伏,使之成为随机方程,即得到微观 Langevin 方程:

$$\begin{vmatrix} \frac{dP_{A}(r,t)}{dt} = \frac{1}{k_{B}T} \sum_{r'} \left[L_{AA}(r-r') \frac{\partial F}{\partial P_{A}(r',t)} + L_{AB}(r-r') \frac{\partial F}{\partial P_{B}(r',t)} \right] + \xi(r,t) \\ \frac{dP_{B}(r,t)}{dt} = \frac{1}{k_{B}T} \sum_{r'} \left[L_{BA}(r-r') \frac{\partial F}{\partial P_{A}(r',t)} + L_{BB}(r-r') \frac{\partial F}{\partial P_{B}(r',t)} \right] + \xi(r,t) \end{aligned}$$

$$(1)$$

基金项目: 国家自然科学基金资助项目(51774254, 51774253, 51701187, U1610123, 51574207, 51574206, 51574226); 山西省科技重大专项 (MC2016-06)

收稿日期: 2016-08-15; 修订日期: 2016-11-02

通信作者: 赵宇宏, 教授, 博士; 电话: 15035172958; E-mail: zyh388@sina.com

式中: $L_{\alpha\beta}(r-r')$ 是与单位时间内一对 α 和 β 原子在格点位置 r 和 r'上的交换概率有关的常数(α 、 β = A、B 或 C); T 为温度; $k_{\rm B}$ 为波尔兹曼常数; F 为系统的总自由能; t 为时间; $\xi(r,t)$ 为热起伏项。

在平均场近似下, 系统的总自由能为

$$F = -\frac{1}{2} \sum_{r} \sum_{r'} \begin{bmatrix} V_{AB}(r - r') P_{A}(r) P_{B}(r') \\ + V_{BC}(r - r') P_{B}(r) P_{C}(r') \\ + V_{AC}(r - r') P_{A}(r) P_{C}(r') \end{bmatrix} + K_{B}T \sum_{r} \begin{bmatrix} P_{A}(r) \ln(P_{A}(r)) \\ + P_{B}(r) \ln(P_{B}(r)) \\ + P_{C}(r) \ln(P_{C}(r)) \end{bmatrix}$$
(2)

式中: $V_{\alpha\beta}(r-r')$ 为原子间有效作用能(α 、 β =A、B 或 C),它由化学相互作用能 $V_{\alpha\beta}(r-r')_{cl}$ 、弹性相互作用能 $V_{\alpha\beta}(r-r')_{el}$ 组成。从而可获得倒易空间中的微扩散方程:

$$\begin{split} &\left\{ \frac{\mathrm{d}\widetilde{P}_{\mathrm{A}}(k,t)}{\mathrm{d}t} = \frac{\widetilde{L}_{\mathrm{AA}}(k)}{k_{\mathrm{B}}T} \left\{ \widetilde{V}_{\mathrm{AC}}(k)\widetilde{P}_{\mathrm{A}}(k,t) + \right. \\ &\left. \frac{1}{2} \left[-\widetilde{V}_{\mathrm{AB}}(k) + \widetilde{V}_{\mathrm{BC}}(k) + \widetilde{V}_{\mathrm{AC}}(k) \right] P_{\mathrm{B}}(k,t) + \\ &\left. k_{\mathrm{B}}T \left[\ln \frac{P_{\mathrm{A}}(r,t)}{1 - P_{\mathrm{A}}(r,t) - P_{\mathrm{B}}(r,t)} \right]_{k} \right\} + \frac{\widetilde{L}_{\mathrm{AB}}(k)}{k_{\mathrm{B}}T} \cdot \\ &\left\{ \widetilde{V}_{\mathrm{BC}}(k)\widetilde{P}_{\mathrm{B}}(k,t) + \frac{1}{2} \left[-\widetilde{V}_{\mathrm{AB}}(k) + \widetilde{V}_{\mathrm{BC}}(k) + \widetilde{V}_{\mathrm{AC}}(k) \right] \cdot \\ \widetilde{P}_{\mathrm{A}}(k,t) + k_{\mathrm{B}}T \left[\ln \frac{P_{\mathrm{B}}(r,t)}{1 - P_{\mathrm{A}}(r,t) - P_{\mathrm{B}}(r,t)} \right]_{k} \right\} + \xi(k,t) \\ &\left. \frac{\mathrm{d}\widetilde{P}_{\mathrm{B}}(k,t)}{\mathrm{d}t} = \frac{\widetilde{L}_{\mathrm{BA}}(k)}{k_{\mathrm{B}}T} \left\{ \widetilde{V}_{\mathrm{AC}}(k)\widetilde{P}_{\mathrm{A}}(k,t) + \\ &\left. \frac{1}{2} \left[-\widetilde{V}_{\mathrm{AB}}(k) + \widetilde{V}_{\mathrm{BC}}(k) + \widetilde{V}_{\mathrm{AC}}(k) \right] \widetilde{P}_{\mathrm{B}}(k,t) + \\ k_{\mathrm{B}}T \left[\ln \frac{P_{\mathrm{A}}(r,t)}{1 - P_{\mathrm{A}}(r,t) - P_{\mathrm{B}}(r,t)} \right]_{k} \right\} + \frac{\widetilde{L}_{\mathrm{BB}}(k)}{k_{\mathrm{B}}T} \cdot \\ &\left\{ \widetilde{V}_{\mathrm{BC}}(k)\widetilde{P}_{\mathrm{B}}(k,t) + \frac{1}{2} \left[-\widetilde{V}_{\mathrm{AB}}(k) + \widetilde{V}_{\mathrm{BC}}(k) + \widetilde{V}_{\mathrm{AC}}(k) \right] \cdot \\ \widetilde{P}_{\mathrm{A}}(k,t) + k_{\mathrm{B}}T \left[\ln \frac{P_{\mathrm{B}}(r,t)}{1 - P_{\mathrm{A}}(r,t) - P_{\mathrm{B}}(r,t)} \right]_{k} \right\} + \xi(k,t) \end{split}$$

式中: $\left[\ln \frac{P_{\rm A}(r,t)}{1 - P_{\rm A}(r,t) - P_{\rm B}(r,t)}\right]_{\bar{\iota}}, \left[\ln \frac{P_{\rm B}(r,t)}{1 - P_{\rm A}(r,t) - P_{\rm B}(r,t)}\right]_{\bar{\iota}},$

 $V_{\rm AB}(k)$, $V_{\rm BC}(k)$, $V_{\rm AC}(k)$ 分别是相应函数的傅立叶变换。

2 结果与讨论

 $Ni_{75}Al_5V_{20}$ 合金在温度为 1250 K 下沉淀时位于 $\gamma'(Ni_3Al_5L1_2)$ + θ (Ni_3V , DO_{22})两相区,因此在以下分别模拟的不同弹性畸变能(B=200,400,600,800)的沉淀过程中, $L1_2$ 相和 DO_{22} 相均从无序基体中析出。在模拟时采用 128×128 格点,以及在每个方向上都使用周期性边界条件,无序过饱和固溶作为合金的初始状态,时间步数 t 代表模拟时间,其中时间步长 Δt =0.0002。在以下模拟得到的 $Ni_{75}Al_5V_{20}$ 合金显微组织演化图中,以 Ni 原子作为黑色基体,Al 原子在某个点占位越高,该格点灰度越高,而 V 原子在某个格点占位越高,则该格点白度越高。

在不同弹性畸变能下, Ni75Al5V20 合金沉淀时的原 子演化过程类似,因此,如图1和2所示(图中数值为 模拟的格点位置), 只选取了两组弹性畸变能(B=200 和 600)下的显微组织演化过程来进行分析。由图 1 和 2 可看出, 当 B 为 200 和 600 时, Ni₇₅Al₅V₂₀ 合金在沉 淀过程中的显微组织演化均可大致分为 4 个阶段: 首 先基体由无序状态转化为短程有序相(见图 1(a)和 2(a)); 然后是 L1₂相和 DO₂₂相由短程由有序相转化或 者由基体相直接转化而析出,形成非化学计量比有序 相(见图 1(b)和 2(b)); 再随着时间的演化, 在沉淀早期 析出较多的 L12 相部分转化为了 DO22 相(见图 1(c)和 2(c)); 最终 L12 相和 DO22 相通过相互碰撞、融合而沿 着[100]方向共同长大粗化,形成了化学计量比有序相 (见图 1(d)和 2(d))。不同弹性畸变能下的微观组织演化 也有不同之处, 在 B=200 时(见图 1(a)), 当 t=8000 时, $Ni_{75}Al_5V_{20}$ 合金的短程有序相析出; 而 B=600 时(见图 2(a)), 当 t=5000 时, 其短程有序相就已析出。由此可 见,随着弹性畸变能的增加,短程有序相提前析出。 且由图 1 和 2 还可看到,随着弹性畸变能的增加,L12 相和 DO22 相从析出到粗化一直具有方向性(沿着[100] 方向),两相更加细化且形貌也更加规则,趋于长方形。

为了更加清楚地了解不同弹性畸变能对 $Ni_{75}Al_5V_{20}$ 合金沉淀过程的影响,对比了在不同弹性畸变能下 $L1_2$ 相和 DO_{22} 相体积分数的变化。图 3 所示为 $Ni_{75}Al_5V_{20}$ 合金在不同弹性畸变能下的体积分数变化曲线。由图 3 可知,在各个弹性畸变能下, $L1_2$ 相的体积分数先增加到一最大值,然后降低,向 DO_{22} 相进行转化,与以上模拟出的合金的微观组织演化过程相一致;而 DO_{22} 相的体积分数先快速增加,后缓慢增加,然后到达其平衡值,其原因是当 DO_{22} 相由基体直接析

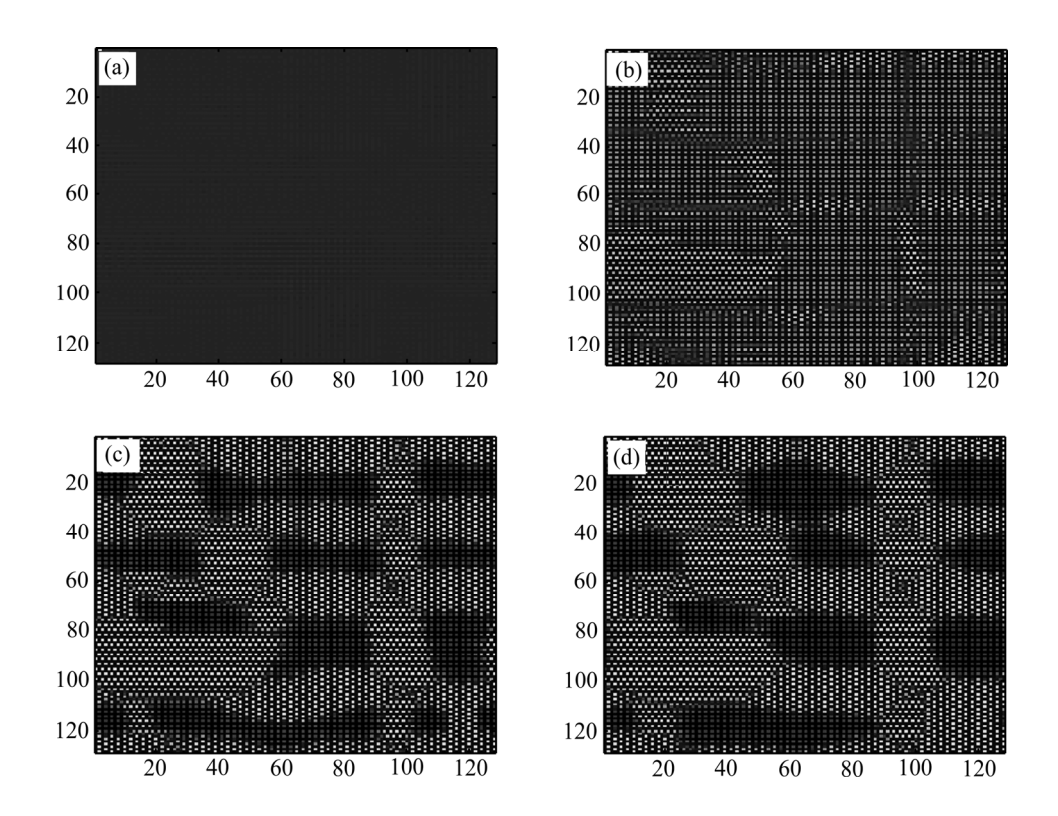


图 1 温度为 1250 K 和 B 为 200 时 $Ni_{75}Al_5V_{20}$ 合金沉淀过程的微观组织演化过程

Fig. 1 Process of microscopic morphology evolution of alloy $Ni_{75}Al_5V_{20}$ at 1250 K and B=200: (a) t=8000; (b) t=12500; (c) t=91500; (d) t=500000

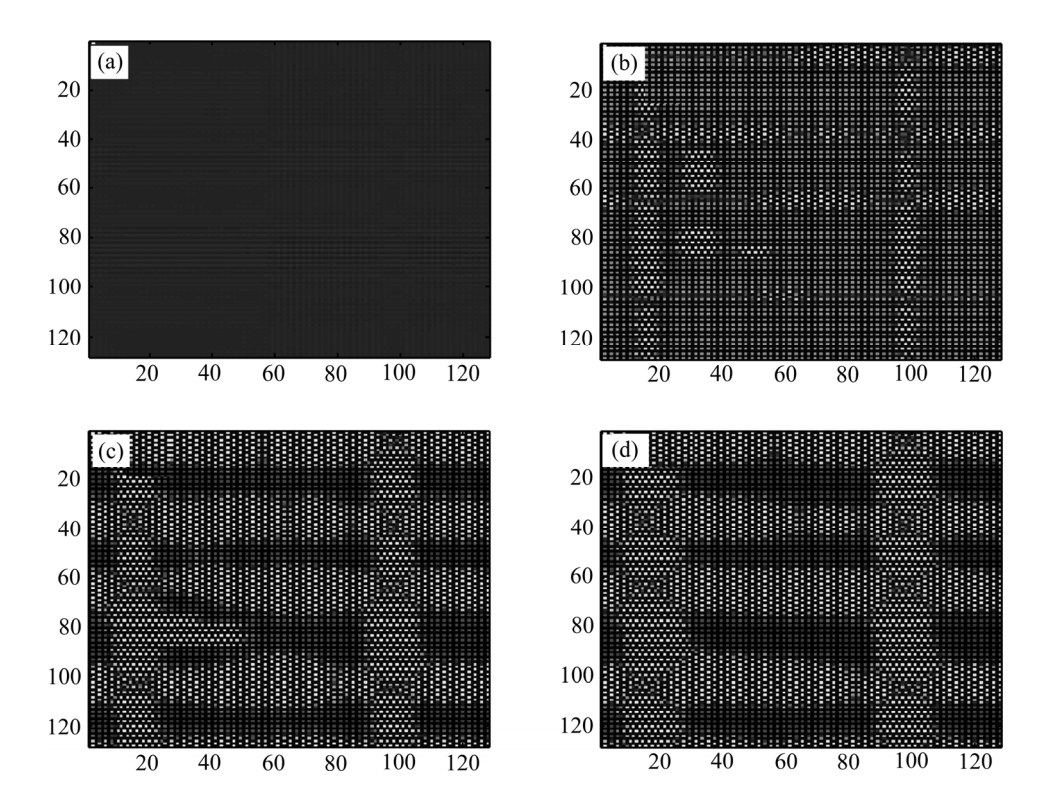


图 2 温度为 1250 K 和 B 为 600 时 $Ni_{75}Al_5V_{20}$ 合金沉淀过程的微观组织演化过程

Fig. 2 Process of microscopic morphology evolution of $Ni_{75}Al_5V_{20}$ alloy at 1250 K and B=600: (a) t=5000; (b) t=18500; (c) t=80000; (d) t=500000

出时,其沉淀速度较快,而由 $L1_2$ 相进行转化时,其沉淀速度较慢 $^{[10]}$ 。通过对比图 3 中各个弹性畸变能下两相体积分数的变化可观察出,随着弹性畸变能的增大, $L1_2$ 相和 DO_{22} 相的析出时间均越来越早,即两相的孕育期缩短; $L1_2$ 相在早期沉淀中的析出量越来越多; $L1_2$ 相的最终析出量也是增多的,而 DO_{22} 相最终析出量变化不大,稍有减少。由此可见,在 $Ni_{75}Al_5V_{20}$ 合金沉淀过程的整个中,随着弹性畸变能的增加,都有利于 $L1_2$ 相的析出。

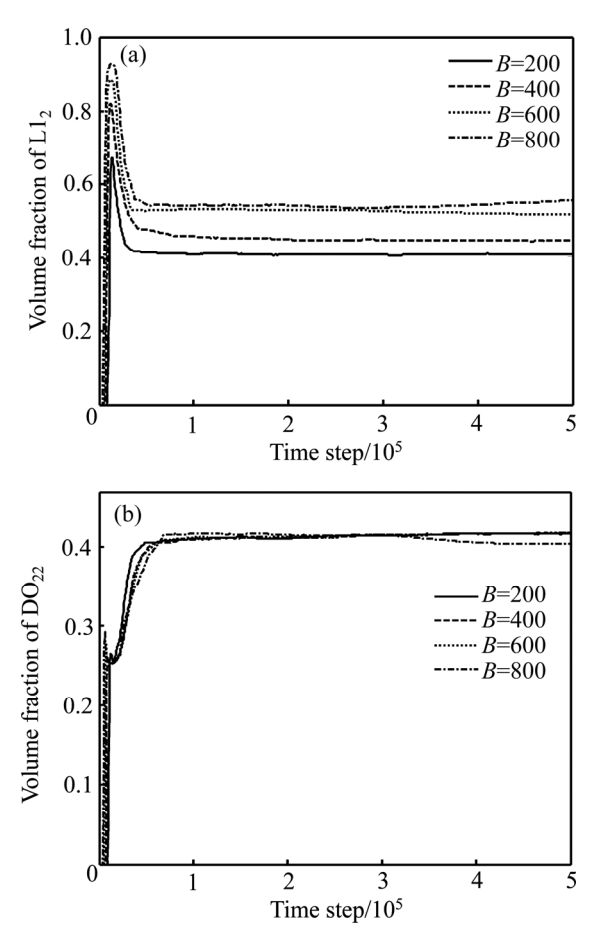


图 3 $Ni_{75}Al_5V_{20}$ 合金在不同弹性畸变能下的体积分数变化曲线

Fig. 3 Volume fraction variation of $L1_2(a)$ and $DO_{22}(b)$ phase of $Ni_{75}Al_5V_{20}$ alloy at different elastic strain energy

为了清楚地了解 $Ni_{75}Al_5V_{20}$ 合金的 $L1_2$ 相的早期扩散情况,首先分析了在早期沉淀出的 $L1_2$ 相中 Al、 V 原子由边界到中心的占位概率变化,如图 4 格点 1 到格点 5、6 及格点 9 到格点 5、6 的曲线变化。由于在各个弹性畸变能下 Al、 V 原子的占位变化趋势在早期沉淀出的 $L1_2$ 相中类似,因此只分析了 B=600 时 Al、 V 原子在早期沉淀出的 $L1_2$ 相内扩散变化。

综合图 4(a)、图 4(b)可知, 在时间步数 t=13500

时,在L12相内,Al原子的占位很小,大约在0.2左 右,而 V 原子的占位较高,大约在 0.64 左右,由此可 见,在早期生成的 L12 相内 V 原子占位较高。随着时 间步数的增加, 当 t=32000 时, Al 原子在越靠近 L1, 相的边界的地方占位较高,内部占位较低,而 V 原子 与之相反, 其是在越靠近 L12 相的边界的地方占位较 低,内部占位较高,由此可见,生成化学计量比的 L12 相时,AI原子从其边界向内扩散,而V原子是从其内 部向边界扩散。还可观察到在 Al、V 原子在 L12相边 界扩散较快,而越接近内部,它们的扩散速度越慢, 这是因为溶质原子在相边界的扩散速度比相内要快。 当时间步数增加到 46000 时,由于随着溶质原子的扩 散,L12相内部与边界浓度差减小,使得相变驱动力 减小,Al、V原子的扩散速度降低,从而它们的扩散 曲线的斜率降低,但扩散趋势与 t=32000 时类似。再 随着时间步数的增加,Al、V原子的扩散速度更加缓 慢,且由于AI原子扩散到了L12相内部,V原子扩散

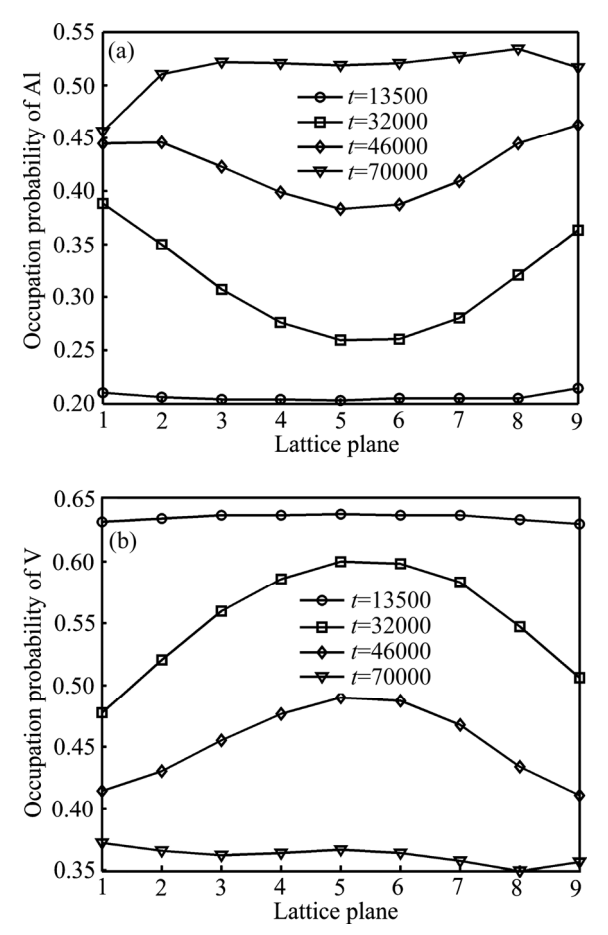


图 4 Ni₇₅Al₅V₂₀ 合金在 B=600 时早期沉淀出的 Ll₂ 相内 Al 原子与 V 原子的占位变化

Fig. 4 Occupation probability evolution of Al atom(a) and V atom(b) in L1₂ phase when early precipitation in Ni₇₅Al₅V₂₀ alloy at B=600

到了 $L1_2$ 相外部即 DO_{22} 相内,如 t=70000 时,A1 原子在最靠近 $L1_2$ 相的边界处的占位概率小于内部,而 V 原子与之相反。

图 5 所示为 AI、V 原子在整个沉淀过程占位概率变化,结果与图 4 所示一致,在早期的沉淀出的 L1₂相内 V 原子占位较大;而随着时间的演化 AI 原子的占位概率逐渐升高,V 原子的占位概率逐渐下降;最终 AI、V 原子的扩散均达到了各自的动态平衡状态,且 V 原子在 L1₂相内有一定的占位。综合图 5(a)和(b)可知,随着弹性畸变能的增大,AI 原子的占位概率降低,V 原子的占位概率增大。结合以上关于 L1₂相和DO₂₂相体积分数的分析可知,弹性畸变能增大,L1₂相的体积分数增多,AI 原子需要为多余的 L1₂相提供溶质原子,因此 AI 原子在 L1₂相的占位下降;而 DO₂₂相与 L1₂相相反,随弹性畸变能增大,DO₂₂相的体积分数稍有减少,因此 V 原子有较多的剩余,最终 V 原子在 L1₂相的占位有所上升。

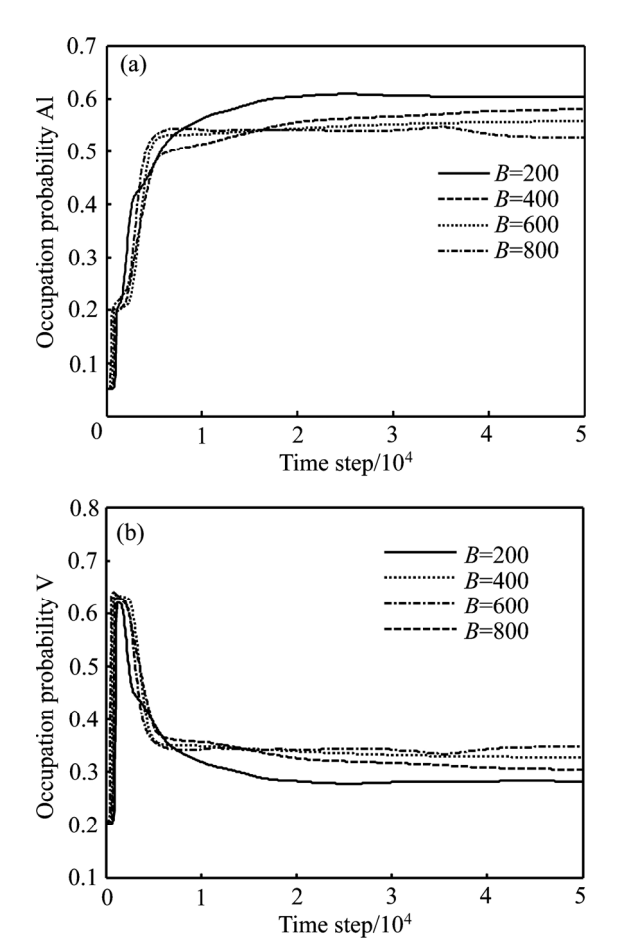


图 5 Ni₇₅Al₅V₂₀合金不同弹性畸变能下 Ll₂相中 Al 原子与 V 原子的占位概率变化

Fig. 5 Variation of atomic occupation probability in L1₂ phase Al atom(a) and V atom(b) of Ni₇₅Al₅V₂₀ alloy at different elastic strain energy

3 结论

- 1) 当温度为 1250 K、不同弹性畸变能时, $Ni_{75}Al_5V_{20}$ 合金沉淀过程的显微组织演化过程都可大致分为 4 个阶段: 无序基体—短程有序相析出— $L1_2$ 相和 DO_{22} 相由短程由有序相转化或者由基体相直接转化而析出—部分 $L1_2$ 相转化为 DO_{22} 相升着[100]方向共同长大粗化。
- 2) 随着弹性畸变能的增大,合金的孕育期缩短, $L1_2$ 相和 DO_{22} 相从析出到粗化一直具有方向性,两相更加细化且形状也更加规则,趋于长方形;而且在沉淀过程的整个过程中都有利于 $L1_2$ 相的析出,而对 DO_{22} 相的析出量影响不大。
- 3) 当弹性畸变能存在时,在早期沉淀析出的 L1₂ 相中, V 原子的占位要远大于 Al 原子的占位概率; 随着时间的演化, Al 原子的占位概率逐渐升高, V 原子的占位概率逐渐降低, 最终均达到各自的平衡状态, 且 V 原子在 L1₂ 相中也有一定的占位。随着弹性畸变能的增大,在 L1₂ 相中 Al 原子的占位概率降低, V 原子的占位概率下降。
- 4) 在生成化学计量比的 $L1_2$ 有序相时,A1 原子由 $L1_2$ 相边界逐渐向其内部扩散,而 V 原子则由其内部 向边界扩散。各原子越靠近在 $L1_2$ 相的边界扩散速度 越快,反之,扩散速度越慢。

REFERENCES

- [1] REN X D, ZHAN Q B, YUAN S, ZHOU J Z, WANG Y, REN N F, SUN G F, ZHENG L M, DAI F Z, YANG H M, DAI W J. A finite element analysis of thermal relaxation of residual stress in laser shock processing Ni-based alloy GH4169[J]. Materials and Design, 2014, 54: 708–711.
- [2] JIANG R, EVERITT S, LEWANDOWSKI M, GAO N, REED P A. Grain size effects in a Ni-based turbine disc alloy in the time and cycle dependent crack growth regimes[J]. International Journal of Fatigue, 2014, 62: 217–227.
- [3] XIAO Feng, YANG Ren-hui, LIU Lan-xiao, ZHAO Hong-kai, FANG Liang, ZHANG Chi. Density and molar volume of molten Ni-based commercial alloys measured by modified sessile drop method[J]. Rare Metal Materials and Engineering, 2009, 38(5): 770–773.
- [4] 王新然,赵宇宏,侯 华,杨东然,王 锟,李海峰. Ni_{74.6}Al_xMo_{25.4-x} 合金早期沉淀过程的微观相场模拟[J]. 中国

有色金属学报, 2014, 24(7): 1730-1735.

WANG Xin-ran, ZHAO Yu-hong, HOU Hua, YANG Dong-ran, WANG Kun, LI Hai-feng. Microscopic phase-field simulation for early precipitation process of Ni_{74.6}Al_xMo_{25.4-x} alloy[J]. The Chinese Journal of Nonferrous Metals, 2014, 24(7): 1730–1735.

- [5] 霍进良, 王永欣, 陈 铮, 张 静, 赵 彦, 张利鹏. 应变能对 Ni₇₅Cr_{16.4}Al_{8.6} 合金沉淀过程影响的微观相场研究[J]. 稀有金属材料与工程, 2008, 37(10): 1723-1727.
 - HUO Jin-liang, WANG Yong-xin, CHEN Zheng, ZHANG Jing, ZHAO Yan, ZHANG Li-peng. The phase-field model study with the elastic energy for the effect on the precipitation in Ni₇₅Cr_{16.4}Al_{8.6} alloy[J]. Rare Metal Materials and Engineering, 2008, 37(10): 1723–1727.
- [6] 刘 芳, 王永欣, 陈 铮, 王晓鹏, 陈 阡, 唐洪奎. 微观相 场法研究应变能对 Ni_{68.2}Al_{22.7}V_{9.1}合金中两相沉淀及原子占位 的影响[J]. 稀有金属材料与工程, 2012, 41(6): 973-977. LIU Fang, WANG Yong-xin, CHEN Zheng, WANG Xiao-peng, CHEN Qian, TANG Hong-kui. Study for the effect of strain energy on two-phase precipitation and atoms occupying in Ni_{68.2}Al_{22.7}V_{9.1} alloy using the microscopic phase-field method [J]. Rare Metal Materials and Engineering, 2012, 41(6): 973-977.
- [7] 陈引平, 王永欣, 卢艳丽, 郭 舒, 杨 坤, 陈 铮. 应变能对 Ni₇₅Al₁₅V₁₀ 合金预析出相影响的微观相场研究[J]. 稀有金属材料与工程, 2011, 40(8): 1361–1366.

 CHEN Yin-ping, WANG Yong-xin, LU Yan-li, GUO Shu, YANG Kun, CHEN Zheng. Study for the effect of strain energy on pre-precipitation phase in Ni₇₅Al₁₅V₁₀ alloy using the microscopic phase-field method[J]. Rare Metal Materials and Engineering, 2011, 40(8): 1361–1366.
- [8] 马庆爽, 靳玉春, 赵宇宏, 侯 华, 王欣然, 王 锟 Ni-Al 间作用势对 Ni₇₅Al₁₄Mo₁₁ 合金原子有序化影响的微观相场模拟[J]. 中国有色金属学报, 2015, 25(6): 1450–1457.

 MA Qing-shuang, JIN Yu-chun, ZHAO Yu-hong, HOU Hua, WANG Xin-ran, WANG Kun. Microscopic phase-field simulation for influence of Ni-Al interaction energy on ordering behavior of Ni₇₅Al₁₄Mo₁₁ alloy atoms[J]. The Chinese Journal of Nonferrous Metals, 2015, 25(6): 1450–1457.
- [9] LU Yan-li, LU Guang-ming, JIA De-wei, CHEN Zheng. Phase-field study on competition precipitation process of Ni-Al-V alloy[J]. Transactions of Nonferrous Metals Society of China, 2015, 25(2): 544–551.
- [10] ZHANG Ming-yi, LI Zhi-gang, ZHANG Jin-ling, ZHANG Hui-zhan, CHEN Zhen, ZHANG Jia-zhen. Site occupation evolution of alloying elements in Ni₃V phase during phase transformation in Ni₇₅Al_{4.2}V_{20.8}[J]. Transactions of Nonferrous Metals Society of China, 2015, 25(5): 1599–1604.
- [11] 张明义, 杨坤, 陈铮, 王永欣, 张嘉振. L12相间有序畴界成

分的微观相场研究[J]. 稀有金属材料与工程, 2013, 42(6): 1194-1198.

- ZHANG Ming-yi, YANG Kun, CHEN Zheng, WANG Yong-xin, ZHANG Jia-zhen. Microscopic phase-field Study on the compositions of ordered domain interfaces formed between L1₂ phases[J]. Rare Metal Materials and Engineering, 2013, 42(6): 1194–1198.
- [12] ZHANG Ming-yi, CHEN Zheng, WANG Yong-xin, MA Guang, LU Yan-li, FAN Xiao-li. Effect of atomic structure on migration characteristic and solute segregation ofordered domain interfaces formed in Ni₇₅Al_xV_{25-x}[J]. Transactions of Nonferrous Metals Society of China, 2011, 21(3): 604–611.
- [13] 张明义,陈 铮, 王永欣, 卢艳丽, 张 静, 范晓丽. Ni₇₅Al_xV_{25-x}合金 DO₂₂到 L1₂相变过程异相界面的结构及其迁移特征[J]. 金属学报, 2009, 45(8): 930-936. ZHANG Ming-yi, CHEN Zheng, WANG Yong-xin, LU Yan-li, ZHANG Jing, FAN Xiao-li. Structure and migration characteristic of hetero interfaces during the phase transforrmation from DO₂₂ to L1₂ phase in Ni₇₅Al_xV_{25-x} alloys[J]. Acta Metallurgica Sinica, 2009, 45(8): 930-936.
- [14] 张明义, 杨 坤, 陈 铮, 王永欣, 张嘉振. DO₂₂ 相间反相畴 界成分演化的微观相场模拟[J]. 有色金属工程, 2012, 2(4): 21-27.

 ZHANG Ming-yi, YANGH Kun, CHEN Zheng, WANG Yong-xin, ZHANG Jia-zhen. Microscopic phase-field study on the compositions of ordered domain interfaces formed between DO₂₂ phases[J]. Nonferrous Metals Engineering, 2012, 2(4):
- [15] 赵宇宏. 合金早期沉淀过程的原子尺度计算机模拟[D]. 西安: 西北工业大学, 2003.

21-27

- ZHAO Yu-hong. Atomic-scale computer simulation for alloy during early precipitation process[D]. Xi'an: Northwestern Polytechnical University, 2003..
- [16] 赵宇宏. 材料相变过程微观组织模拟[M]. 北京: 国防工业出版社, 2010.
 - ZHAO Yu-hong. Simulation for the materials microstructure evolution in phase transformation process[M]. Beijing: National Defend Industry Press, 2010.
- [17] HOU Hua, WEN Zhi-qin, ZHAO Yu-hong. First-principles investigations on structural, elastic, thermodynamic and electronic properties of Ni₃X (X=Al, Ga and Ge) under pressure[J]. Intermetallics, 2014, 44: 110–115.
- [18] QI Lei, JIN Yu-chun, ZHAO Yu-hong. HOU Hua. The structural, elastic, electronic properties and Debye temperature of Ni₃Mo under pressure form first-principles[J]. Journal of Alloys and Compounds, 2015, 621: 383–388.
- [19] KHACHATURYAN A G. Theory of structural transformations in solids[M]. New York: Wiley, 1983, 41(2): 208.

- [20] PODRUI R, CHEN L Q. Computer simulation of atomic ordering and compositional clustering in the pseudobinary Ni₃Al-Ni₃V system[J]. Acta Materialia, 1998, 46(5): 1719–1729.
- [21] CHEN L Q. A computer simulation technique for spinodal decomposition and ordering in ternary systems[J]. Scr Metall Mater, 1993, 29(5): 683–688.

Effect of elastic strain energy on L1₂ phase precipitation simulated by using microscopic phase-field method

ZHENG Xiao-juan, ZHAO Yu-hong, HOU Hua, JIN Yu-chun, MA Qing-shuang, TIAN Jin-zhong (College of Materials Science and Engineering, North University of China, Taiyuan 030051, China)

Abstract: The precipitation process of L1₂ phase in Ni₇₅Al₅V₂₀ alloy was mainly simulated by using the microscopic phase-field kinetic mode. The results demonstrate that the process of microscopic morphology evolution can be divided into four stages for Ni₇₅Al₅V₂₀ alloy at 1250 K on different elastic strain energy, but there also are some different points. The occupation probability of Al atom is greater than V atom in early precipitation of L1₂ phase when the elastic strain energy is existent. Eventually, with increasing the elastic strain energy, the occupation probability of Al atom reduces and the occupation probability of V atom increases in L1₂ phase. When stoichiometric L1₂ ordered phase generates, the Al atoms gradually diffuse from L1₂ phase boundaries to its internal, meanwhile, the V atoms gradually diffuse from L1₂ phase internal to its boundaries, and the atoms in L1₂ phase are more closer to boundary, their diffusion speed becomes more faster, conversely becomes more slowly.

Key words: Ni₇₅Al₅V₂₀ alloy; microscopic phase-field; elastic strain energy; occupation probability; Ll₂ phase

Foundation item: Projects(51774254, 51774253, 51701187, U1610123, 51574207, 51574206, 51574226) supported by the National Natural Science Foundation of China; Project(MC2016-06) supported by the Science

and Technology Major Project of Shanxi Province, China

Received date: 2016-08-15; Accepted date: 2016-11-02

Corresponding author: ZHAO Yu-hong; Tel: +86-15035172958; E-mail: zyh388@sina.com

(编辑 龙怀中)